



فصلنامه علمی - ترویجی  
سال چهارم، شماره ۱، شماره پیاپی ۱۳  
Vol. 4, No. 1, Issue No. 13  
Quarterly  
Spring 2019,  
صفحه ۴۳-۵۶

Iran Polymer Technology;  
Research and Development

## واژه‌های کلیدی:

پوشش سطح  
رسوب‌دهی الکتریکی  
رذین  
روش کاتدی  
رنگ‌دانه

# پوشش نوین بدنه خودروها

احمد ربیعی<sup>\*</sup>، طاهره طاهرزاده لاری<sup>۲</sup>  
۱۰۲ تهران، پژوهشگاه پلیمر و پتروشیمی ایران، گروه علوم

## چکیده ...

برای جلوگیری از زنگ زدن بیش از حد بدنه خودروها، به پوشش سطحی، نیاز است. در حال حاضر پوشش سطحی به روش الکتریکی انجام می‌گیرد. در واقع به جای روش ساده غوطه‌ورسازی بدنه ماشین در مخزن حاوی رنگ، پوشش دهنی با استفاده از واکنش الکتروشیمیایی اعمال می‌شود. فرایند پوشش الکتریکی شامل پنج مرحله است. این مراحل به صورت خلاصه عبارتند از:

- پیش تمیزسازی: برای حذف کثیفی و چربی روی فلز به کار می‌رود.
- فسفاته کردن: برای ارائه سطح بهتر به منظور رنگ‌آمیزی و برای حفاظت در برابر خوردگی به کار می‌رود.
- پوشش دهی الکتریکی: روش انتخابی رنگ‌آمیزی است.
- عمل شست‌وشو: برای حذف پوشش کرم مانند است که به سطح فلز متصل نیست.
- عمل پخت: برای شبکه‌ای شدن پوشش پلیمری به کار می‌رود.

\* پست الکترونیکی مسئول مکاتبات:  
a.rabbii@ippi.ac.ir

## ۱ مقدمه

آستر معروف است، پوشش دهی می شود. سپس لایه دوم که رنگ ترینی و نهایی است افزوده می شود [۱۰].

### ۲ فرایندهای پوشش دهی الکتریکی

فرایند آندی مانند فرایند غوطه ورسازی در حال حاضر تنها برای تعداد کمی از کاربردهای ویژه مورد استفاده قرار می گیرد. با این حال در انتهای این مقاله به آن اشاره شده است زیرا از اهمیت تاریخی مهمی برخوردار است و اولین روش الکتریکی است که برای پوشش سطحی بدنی خودرو استفاده شده است. فرایند کاتدی اساساً شبیه فرایند آندی است؛ با این تفاوت که این فرایند به جای شبکه شدن گروههای اسیدی شامل شبکه شدن گروههای قلیایی می شود [۱۱].

### ۱-۲ فرایند تولید پوشش پلیمری

بدنه خودروها در فرایندی پنج مرحله‌ای پوشش دهی می شوند. این مراحل پنج گانه عبارتند از:

#### ۱-۱ مرحله اول: پیش تمیزسازی

چربی‌ها و روغن‌ها باعث تداخل مراحل خودرو رنگ آمیزی می شوند و شکاف‌هایی را در پوشش ایجاد می کنند که باعث گسترش خودگی می شود. بهمین دلیل، چربی قرار گرفته بر روی فلز در طی مونتاژ بدنی خودرو باید در اسرع وقت حذف شود. این کار با حل کردن چربی در نفت سفید و سپس حذف مخلوط روغن- حلال انجام می شود. سپس بدن ماشین با قلیاً شست و شو داده می شود تا فرایند چربی زدایی، کامل شود و در نهایت با آب شسته می شود.

#### ۲-۱ مرحله دوم: فسفاته کردن

فولاد مورد استفاده، لایه‌لایه است و با لایه خارجی از جنس روی، پوشانده شده است (شکل ۱). این لایه با اسید فسفریک در دمای ۵۰-۵۵ درجه سانتی گراد پوشانده می شود. اسید با روی واکنش داده، مخلوطی از فسفات روی را در سطح فولاد تشکیل می دهد. اتصال رنگ پوشش الکتریکی به فسفات‌های روی، نسبت به فلز خالص، بهتر انجام می گیرد و خودگی فسفات‌های روی بسیار کنتر از فولاد خالص است [۱۲].

قبلابه مظور رنگ آمیزی، بدنخودروها را درون محزن رنگ فرو می برند [۱]. اما رنگ معمولاً کل سطح را به طور مساوی پوشش نمی داد؛ مخصوصاً نقاطی را که دارای خودگی در اثر نمک هستند. در اوایل دهه ۱۹۷۰ مشخص شد که خودروها را می توان به روش آبکاری آندی رنگ آمیزی کرد [۲]. این پوشش‌ها خیلی بهتر از پوشش به روش غوطه ورسازی بودند؛ اما آن‌ها هم حاوی رزینی شامل گروههای عاملی با فلز روی، در فولاد گالوانیزه واکنش می دهند در نتیجه پوشش دهی مناسبی روی بدنخودرو وسائل نقلیه ایجاد نمی شود [۳]. در حال حاضر اکثر وسائل نقلیه با استفاده از فرایند پوشش دهی الکتریکی کاتدی پوشش دهی می شوند [۴]. در این فرایند از برق کمتری استفاده می شود و پوششی را فراهم می کند که مقاومت بیشتری نسبت به خودگی نمک نسبت به سایر روش‌ها دارد [۵]. این روش منجر به تولید پوشش مناسب می شود و می تواند در مواردی که عنصر فولاد با فلز روی، پوشیده شده است استفاده شود. علاوه براین، استفاده از سامانه رزین اپوکسی بسیار فنول آ- یورتان، پوششی با خواص مکانیکی برجسته و مقاوم در برابر خودگی ایجاد می کند [۶]. روش پوشش دهی الکتریکی در دهه ۱۹۶۰ به سرعت رشد کرده، توسعه یافت و تا سال ۱۹۷۰ ده درصد کل وسائل نقلیه در سراسر جهان با این روش، پوشش دهی الکتریکی شده‌اند [۷]. تا سال ۱۹۹۰ این میزان به نود درصد از کل وسائل نقلیه افزایش یافت و امروزه اغلب صنایع خودروسازی دنیا از این فرایند پوشش دهی استفاده می کنند.

از آنجا که وسیله نقلیه باید به نحوی پوشش دهی شود تا سرعت خودگی فلزی که از آن ساخته شده کاهش یابد، پوشش سطحی مناسب برای خودرو باید صاف و انعطاف‌پذیر باشد و به آسانی با سنج و امثال آن خراش برندارد. با توجه به بررسی‌های انجام شده سعی شده تا از بین انواع مختلف روش‌های رنگ آمیزی شیوه‌ای برگزیده شود که هم ارزان باشد و هم به طور موثر این الزامات را برآورده کند [۸]. در این مقاله به بررسی فرایند پوشش دهی الکتریکی به شیوه کاتدی که امروزه بیشتر مورد استفاده قرار می گیرد پرداخته شده است [۹]. در این فرایند ابتدا وسیله نقلیه با زیرلایه‌ای به رنگ خاکستری و مقاوم در برابر خودگی که به

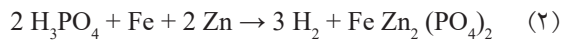
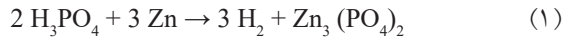
اجازه ورود و حذف سریع هوا را از وسایل نقلیه بدهد.  
- جریان چرخشی یکنواخت و مناسب برای حذف گردوغبار و ذرات معلق و حذف کثیفی رسوب کرده توسط عمل فیلتراسیون.

- رنگ بازگشتی از خطوط صافی بخش خارجی از ایجاد رنگ مرده در مخزن جلوگیری کرده و مانع تولید لکه می‌شود.  
- حرکت افقی رنگ در لایه‌ی بالایی مخزن، حداقل دو برابر حرکت وسیله نقلیه است. این به منظور جلوگیری از نشستن رنگ روی سطوح و ایجاد فیلم ناصاف است.

مخازنی که برای این منظور به کار می‌روند بهتر است بین ۵۰۰۰۰ تا ۱۵۰۰۰۰ لیتر گنجایش داشته و تحت کنترل pH بوده و نسبت سطح کاتد به آند تا ۱:۴ برابر باشد.

رنگ و حلال تازه در صورت نیاز به مخزن رنگ، اضافه می‌شوند. رنگ با حلال محلول شده و سپس به طور پیوسته اضافه می‌شود و میزان افزایش آن وابسته به سرعتی است که وسیله نقلیه پوشش دهی می‌شود. حلال نیز در صورت نیاز و بر حسب تبیخیر به درون مخزن افزوده می‌شود.

برای حفظ ذرات رنگ به صورت پایدار و منفصل، لازم است که مخزن، خنک نگه داشته شود. خنک کننده‌ها و مبدل‌های حرارتی طوری طراحی شده‌اند که دمای حمام را در تمام شرایط عملیاتی روی حداقل ۱۵ درجه سانتی‌گراد حفظ کنند. انواع رنگ‌هایی که به صورت الکتریکی اعمال می‌شوند برای دستیابی به پایداری مناسب و تثیت رنگ، دارای شرایط دمای عملیاتی بهینه هستند.



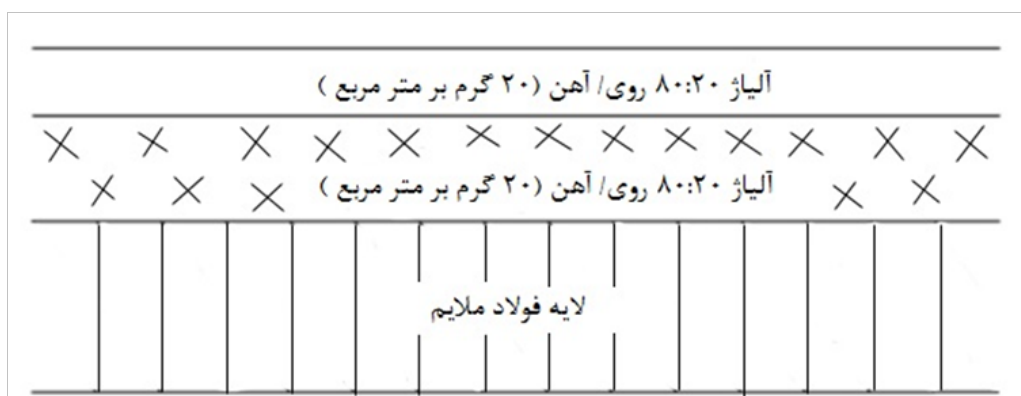
این عمل به طور مستقیم و به واسطه کمک به چسبیدن رنگ، مقاومت در برابر خوردگی را بهبود می‌بخشد. عمل فسفاته کردن و رنگ آمیزی در مجموع ۹۰ تا ۷۵ دقیقه از کل مقاومت خوردگی را باعث می‌شوند و عمر وسیله نقلیه را ۵ تا ۱۰ سال افزایش می‌دهند [۱۳]. اسید فسفریک اضافی با آب شسته شده و بدن وسیله نقلیه توسط تسمه نقاله به داخل مخزن پوشش الکتریکی حمل می‌شود.

### ۳-۱-۲ مرحله سوم: پوشش دهی الکتریکی

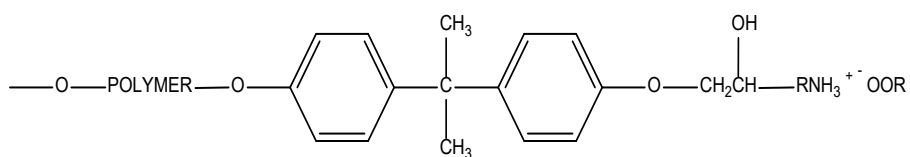
مخلوط رزین و اتصال دهنده و خمیر حاوی رنگدانه‌ها به مخزن تزریق می‌شوند. سپس وسیله‌ای توسط تسمه نقاله پایین آمده و جریان الکتریکی را به درون مخزن اعمال می‌کند. در واکنش الکتروپوششی، بدن ماشین به عنوان کاتد و مخزن رنگ به آند متصل شده که نتیجه آن اتصال محکم و یکنواخت پلیمر رزین به سطح فلز بدن ماشین خواهد بود [۱۴].

مخزن پوشش دهی از جنس فولاد با لایه‌ای از پوشش اپوکسی ساخته شده تا به عنوان عایق الکتریکی عمل کرده و همچنین در برابر خوردگی مقاوم باشد [۱۵]. مخزن برای دستیابی به شرایط فرایندی زیر طراحی شده است:

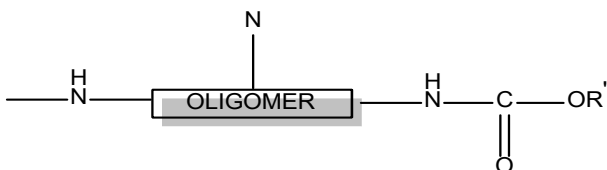
- حداقل اندازه را از نظر اقتصادی داشته باشد و به راحتی



شکل ۱ آهن پوشش داده شده با روی (فولاد گالوانیزه) [۱۲]



شکل ۲ مشتق نمک آمین رزین اپوکسی بیس فنول-آ

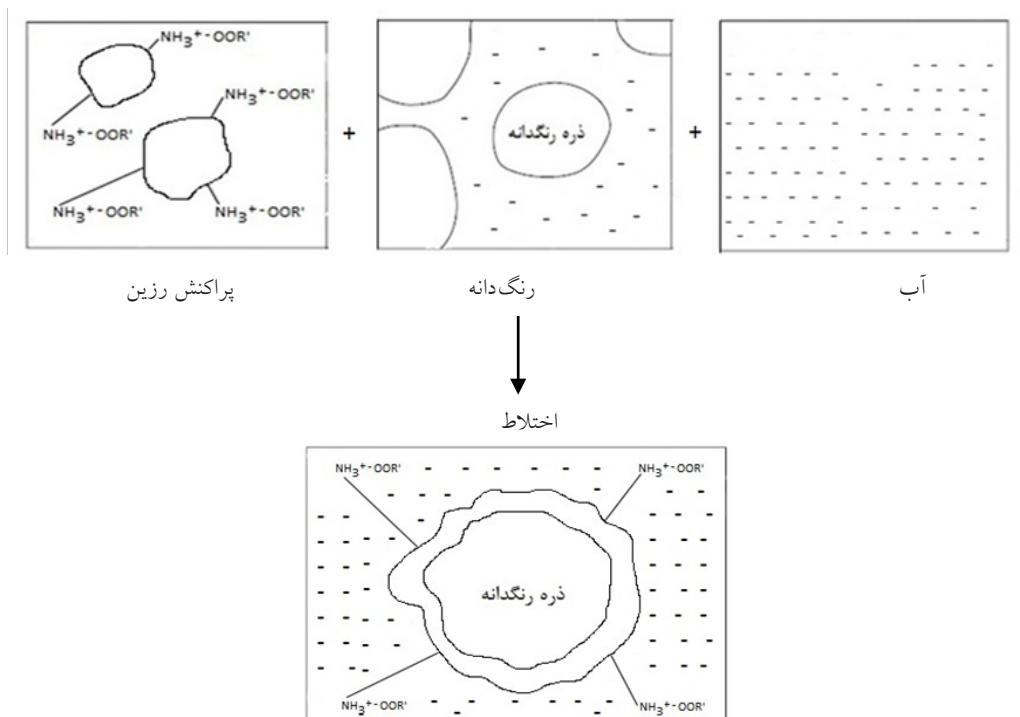
شکل ۳ الیگومر اتصال دهنده ایزوسیانات مسدود شده با  $\text{R}''-\text{OH}$ 

### ۲-۳-۱-۲ واکنش های فیزیکی و شیمیایی رسوب دهی الکترواستاتیکی

فرایند رسوب دهی الکترواستاتیکی شامل چهار واکنش الکتروشیمیایی هم زمان یعنی الکتروفورز، رسوب دهی، الکترواسمز و الکترولیز است که منجر به تشکیل لایه ای با استحکام قابل توجه می شود [۴]. استحکام لایه

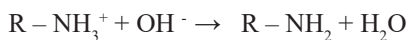
### ۱-۳-۱-۲ ترکیب و اجزای رنگ

رنگ از دو قسمت تشکیل شده است: یک قسمت رنگ از رزین و اتصال دهنده تشکیل شده و قسمت دیگر آن شامل رنگدانه ها است [۱۶]. معمولاً بخش رزین، مشتق نمک آمین از رزین اپوکسی بیس فنول-آ با الیگومرهای ایزوسیاناتی مسدود شده در ساختار اتصال دهنده است (شکل ۲ و ۳). این بخش از ساختار پلی یورتان انعطاف پذیر در حالت شبکه شده دارای مقاومت بسیار در برای خوردگی می شود [۵]. تشکیل ذره رنگ پایدار از مخلوط کردن این دو جزء حاصل می شود. طرح واره ذره پایدار در شکل ۴ نشان داده شده است.



شکل ۴ ذرات رنگدانه پایدار شده توسط رزین

۲- رسوب دهی  
ذرات رنگ با یون های هیدروکسید که توسط الکتروولیز آب تشکیل شده، واکنش داده، گروه های نمکی آمین تخریب شده، باعث ایجاد رسوب روی بدنه خودرو می شود [۱۸]. این مرحله در شکل ۶ نشان داده شده است.

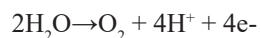


### ۳- الکترواسمنز

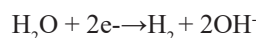
مواد محلول در آب از فیلم جدا شده مهاجرت می کند. در اثر فشار اسمنزی، آب از فیلم خارج می شود [۱۹]. فرایند الکترواسمنز در شکل ۷ نشان داده شده است.

### ۴- الکتروولیز

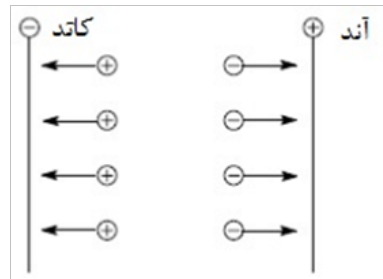
آب در آند تجزیه شده و  $\text{O}_2$  به صورت زیر تولید می شود:



روی وسیله نقلیه تولید می شود:



هیدروژن حاصل لایه فیلم را جدا کرده، ویژگی های زیری قبل از عمل پخت را در آن ایجاد می کند [۲۰]. فرایند الکتروولیز در شکل ۸ نشان داده شده است.



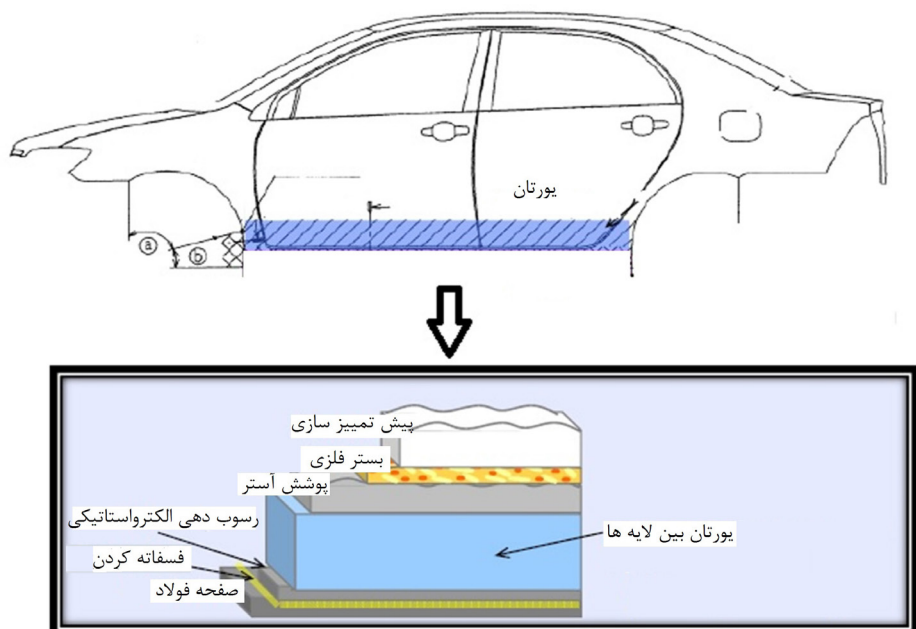
شکل ۵ فرایند الکتروفورز [۵]

تشکیل شده باعث مقاومت آن در برابر شستشوی زیاد می شود. پس از ایجاد پوشش الکترواستاتیکی بر روی بدنه وسیله نقلیه، توسط تسمه نقاله به مرحله شستشو انتقال داده می شود.

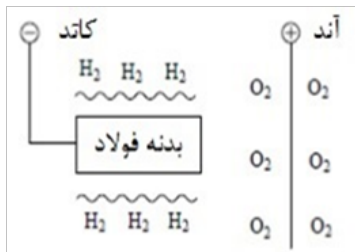
چهار واکنش الکتروشیمیایی و تغییراتی که طی فرایند رسوب دهی الکترواستاتیکی رخ می دهد به شرح زیر است:

### ۱- الکتروفورز

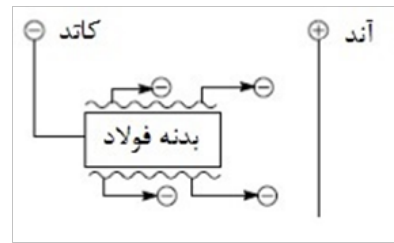
مطابق شکل شماره ۵، ذرات رنگ حاوی بار مثبت ( $R-\text{NH}_3^+$ ) بر روی وسیله نقلیه حاوی بار منفی منتقل می شود [۱۷].



شکل ۶ فرایندرسوب دهی رنگ روی بدنه خودرو [۲]



شکل ۸ فرایند الکترواسمز [۲۰]



شکل ۷ فرایند الکترواسمز [۱۹]

### ۳ بهبود کارایی خوردگی

در حال حاضر با استفاده از رزین های مبتنی بر یورتان-اپوکسی بیس فنول آمی توان فیلم هایی با ضخامت ۲۸ تا ۳۵ میکرومتری ساخت، در صورتی که ضخامت استاندارد ساخت فیلم بین ۱۸ تا ۲۳ میکرومتر است. این بدان معنی است که حتی در کشورهایی با فرسایش بالای نمک، ایجاد فیلم با دوام و تضمین شش ساله برای رنگ خودرو امکان پذیر است.

### ۴ پوشش دهنده الکتریکی لبه فلز

- تنش سطحی در اکثر پوشش های الکتریکی باعث می شود تا رنگ در ناحیه لبه ها عقب نشینی کرده، در طول فرایند پخت، ضخامت پوشش در لبه ها کم شود. سازندگان این روش های پوشش دهنده سامانه هایی را برای غلبه بر این مشکل طراحی کرده اند:
  - محدود کردن سیالیت رزین
  - استفاده از روش پوشش دهنده دوگانه در حمام های جداگانه
  - استفاده از روش ایجاد دو لایه که یکی پس از دیگری و در یک حمام حاصل می شود
- در حال حاضر دو روش اول با استفاده از روش سوم به صورت تجاری استفاده می شود. برای رنگ آمیزی قطعات کوچک که میزان صاف بودن سطح فیلم خیلی مطرح نیست، محدود کردن جریان مواد درون تک حمام رنگ برای رنگ آمیزی کافی است. در بخش های قابل دارد، پوشش دادن لبه ها با سامانه دولایه ای تحقق می یابد [۲۳]. به دلیل کم اهمیت بودن صافی سطح لایه اول،

### ۴-۱-۲ مرحله چهارم: عمل شستشو

طی این عملیات، لایه نازک رنگ که به وسائل نقلیه متصل اما به فلز متصل نیست، حذف می شود. حذف «این پوشش کرم گونه» برای جلوگیری از نقص های پوشش دهنده و ایجاد لایه رنگ صاف ضروری است. این فرایند شامل شستشو با آب و محلول رقیق از رنگ به روش غوطه وری است. رنگی که طی این شستشوها حاصل شده، بازیافت شده، مجدداً در پوشش وسائل نقلیه دیگر استفاده می شود. پس از شستشو، تسمه نقاله ها خودرو را به منظور عمل پخت به گرم خانه منتقل می کنند.

### ۴-۱-۳ مرحله پنجم: عمل پخت

در این مرحله بدن خودرو در دمای ۱۷۰-۱۸۰ درجه سانتی گراد در کوره، پخت می شود. این فرایند باعث می شود زنجیرهای مختلف پلیمری با یکدیگر پیوند عرضی بسیار قوی و انعطاف پذیری تشکیل و شبکه به هم پیوسته ای از پلیمر در سراسر سطح خودرو فراهم شود [۲۱ و ۲۲]. در طی این فرایند، اتصالات اوره و یورتان بین رزین و اتصال دهنده تشکیل شده و گروه هایی که پیش از این یورتان ها را مسدود کرده بودند، به صورت بخار همراه با حللاهای در جریان و دیگر محصولات حاصل از شکست آزاد می شوند. در حال حاضر انواع جدیدی از رنگ های سازگار با محیط زیست، دارای طول عمر بالاتر و دوام بیشتر طراحی شده و روش های پوشش الکتریکی از نوع کاتدی به طور مداوم برای بهبود عملکرد خوردگی، ظاهر پوشش و خواص مکانیکی و کاهش اثرات زیست محیطی در حال توسعه است.

از پروفیلومتر اندازه‌گیری می‌شود [۲۴]. مقادیر درجه زبری (Ra) بر حسب میکرون برای لایه‌های سامانه پوششی روی فولاد در جدول ۱ آورده شده است. کیفیت و صاف بودن رنگ در پوشش دهی الکتریکی می‌تواند اثر قابل توجهی روی ظاهر کلی رنگ پس از پوشش نهایی داشته باشد. سطح رنگ می‌تواند به علت تشکیل حفره، ظاهر ناصاف داشته باشد. اگر بعد از تمیز کردن اولیه، روی بدنی وسیله نقلیه چربی باقی مانده باشد، در طول فرایند پخت این چربی می‌جوشد و حفراتی را در سطح ایجاد می‌کند. این حفره‌ها از طریق رنگ منتقل می‌شوند و به وضوح در سطح بالایی پوشش قابل مشاهده است. در حال حاضر رنگ‌های ICI سامانه‌های رنگی را تایید می‌کنند که شامل حفرات نبوده و وضعیت چشمگیری داشته باشند (جدول ۲). نتایج حاصل مقاومت نسبت به ایجاد حفرات در انواع جدیدی از پوشش که شامل پوشش دهی الکتریکی به روش کاتدی است را نشان می‌دهد.

## ۷ سایر خواص مکانیکی

سایر خواص مکانیکی مانند مقاومت دربرابر ایجاد خراش با سنگ، انعطاف‌پذیری و مقاومت نسبت به ضربه را در کل سامانه رنگ می‌توان با روش پوشش دهی الکتریکی پلیمری طراحی کرد. سایر اجزای رزین را می‌توان به صورت جداگانه به منظور دستیابی به ویژگی‌های مکانیکی بهینه پوشش دهی مطلوب، طراحی کرد؛ بدون این‌که عملکرد خوردگی، رسوب گذاری و ویژگی‌های ظاهر پوشش آسیب بیند.

رنگ این لایه با جریان محدود ساخته می‌شود؛ اما برای ایجاد لایه دوم رنگ، داشتن جریان خوب برای رسیدن به فیلم صاف، ضروری است. سامانه پوشش دهی دوگانه به دلیل وجود معایب نیاز به دو مخزن رنگ ضروری است، البته به جهت مزایای مالی، انگیزه زیادی برای اعمال پوشش دهی دوگانه توسط یک حمام وجود دارد.

## ۵ فولادهای پوشش دهی شده با فلز روی

وسایل نقلیه جدید به طور عمده از فولادهای پوشش دهی شده با روی، ساخته شده‌اند. یک نمونه از آلیاژ چندلایه از فولاد پوشش دهی شده در شکل ۱ نشان داده شده است. به طور معمول فلز روی، به روش الکتروشیمیابی بر سطح فولاد آبکاری شده است زیرا باعث ایجاد پوشش صاف تر نسبت به حالتی که فولاد در روی مذاب غوطه‌ور است، خواهد شد. آلیاژ غنی از روی باعث حفاظت در برابر خوردگی می‌شود؛ در حالی که سطح بالایی آلیاژ غنی از آهن، محل خوبی برای افزایش رشد مطلوب بلوردر طی فرایند فسفاته کردن است.

## ۶ صاف بودن پوشش

سطح «شیشه‌ای مانند» برای بدنی خودرو به عنوان محک و معیار صفت برای کنترل کیفیت پوشش تلقی می‌شود. توانایی تولید کننده خودرو برای دستیابی به رنگ صاف، به کیفیت بستر فولادی بدنی خودرو و همچنین به ویژگی سیالیت رنگ آمیزی لایه‌هایی که سامانه رنگ را تشکیل می‌دهند، بستگی دارد. میزان صاف بودن رنگ با تعیین درجه زبری رنگ (Ra) و با استفاده

جدول ۱ مقادیر درجه زبری برای کل سامانه رنگ خودرو

بسط لایه پوششی	محدوده درجه زبری Ra (میکرومتر)
فولاد عاری از پوشش	۰/۸-۱/۴
فولاد فسفاته شده	۰/۷-۰/۹
پوشش دهی الکتریکی	۰/۱۷-۰/۳۵
لایه پلی استری	۰/۰۵-۰/۱۵
پوشش شفاف روی لعاب	۰/۰۴-۰/۰۹

جدول ۲ اثر آلدگی روغنی روی پوشش دهی کاتدی

نوع پوشش دهی الکتریکی	تعداد حفره های مشاهده شده در آزمایشگاه	
	سطح بدون آلدگی روغن	سطح با مقداری آلدگی روغن
فیلم استاندارد ساخته شده از رزین	۳	۵۰۰
فیلم ساخته شده با محصول جدید	۳	۲۰

غله های بالاتر نامطلوب است. حضور این مواد در رنگ می تواند منجر به هدایت بالای رنگ و ظاهر خشن ورق های پخته شده شود؛ بنابراین آنها توسط این روش با سرعت حدود ۱۲ لیتر بر دقیقه به ازای هر خودرو حذف می شوند.

## ۱۱ فرایند آندی

بخش های زیر واکنش های انجام شده در فرایند آندی را شرح می دهد. این فرایند شبیه فرایند کاتدی است اما در حال حاضر به دلیلی که در ابتدای مقاله اشاره شد، کمتر مورد استفاده قرار می گیرد.

### ۱-۱۱ تشكيل مالوفا

اسید چرب روغن بزرگ (مالوفا) یکی از معرف های به کاررفته در تشكيل رزین است. این ماده طی واکنش دیزل-آلدر و به صورت شکل ۹ تشكيل می شود [۲۵].

### ۲-۱۱ تهييه استر بيس فنول

این استر یکی دیگر از معرف های مهم به کاررفته در فرایند ساخت رزین است [۲۶ و ۲۷]. بیس فنول A، ماده اولیه ای است که با اپی کلوروهیدرین واکنش داده محصول میانی تولید می کند (شکل ۱۰)، سپس پلیمری شده و در مرحله آخر در اثر واکنش با اسید آلی به محصول نهایی که استر است متنه می شود (شکل ۱۱).

### ۳-۱۱ تهييه پلیمر

برای تهييه پلیمر، دو واکنش دهنده و استر بیس فنول (مالوفا) استر بیس فنول به عنوان مواد اولیه با یکدیگر

## ۸ سامانه الکتریکی مخزن

الکتریسته لازم به منظور پوشش دهی توسط کابل های یک سوکنده با ولتاژی بین صفر تا ۵۰۰ ولت فراهم می شود. برای انجام پوشش دهی در ابتدا جریان زیادی اعمال می شود، سپس طی مدت زمان دو دقیقه ای رسوب گذاری، جریان افت می کند تا به ولتاژ متوسط در محدوده ۲۵۰ تا ۳۲۰ ولت برسد. فرایند رسوب دهی الکتریکی روشی خودمحدود کننده است؛ زیرا رنگ، خودرو را عایق کرده، به وضعیتی می رسد که هیچ رنگ بیشتری را نمی توان افزود.

## ۹ صاف شرنگ

به منظور جلوگیری از کثیف شدن رنگ، رنگ موجود در مخزن به طور پیوسته با ۲ تا ۳ بار چرخش کامل در هر ساعت، صاف می شود. عمل صاف شرنگ توسط مجموعه ای از صافی های کیسه ای GAF انجام می شود که کثیفی را حذف و توده ذرات رنگ را جدا کرده و سپس رنگ را به درون مخزن برمی گرداند.

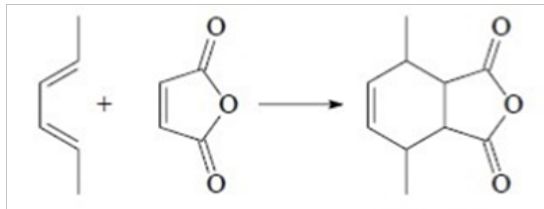
## ۱۰ فرآصافش

در این فرایند، آب و گونه های با وزن مولکولی پایین مانند حلال ها و پلیمرهای کوتاه زنجیر موجود در مخزن الکتریکی طی صافش رنگ توسط غشای لوله ای و تحت فشار، حذف می شوند. مایع حذف شده به عنوان "پرمیات (芬芳劑)" موسوم است و برای پاشش به منظور شست و شوی وسایل نقلیه در مخزن الکتریکی استفاده می شود. علاوه بر این، برخی از انواع رنگ های پوششی حاوی گونه های با وزن مولکولی پایین هستند که در

یا پتاسیم ترکیب می‌شود تا گروه‌های هیدروکسیل موجود در ساختار پلیمر به گروه‌های یونی تبدیل شوند [۲۸].

### ۵-۱۱ رنگ‌آمیزی

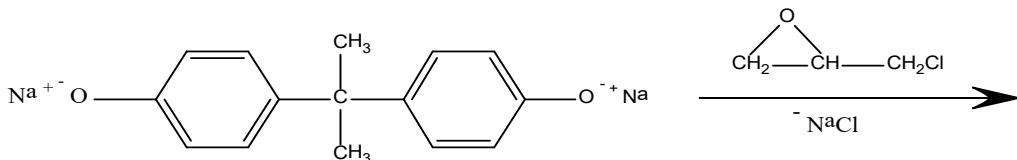
در این مرحله، رنگی که طی واکنش‌های پیشین تهیه شده به مخزنی که در آن بدنی خودرو قرار دارد تزریق می‌شود. در فرایند پوشش دهی الکتریکی، خودرو به عنوان آند لحاظ می‌شود. آب در محلول به یون‌های  $\text{H}^+$  و  $\text{OH}^-$  تفکیک می‌شود، سپس این یون‌ها در هر دو واکنش‌های آندی و کاتدی استفاده می‌شوند. در آند گروه‌های کربوکسیلات با جذب پروتون به شکل خشی تبدیل می‌شوند:



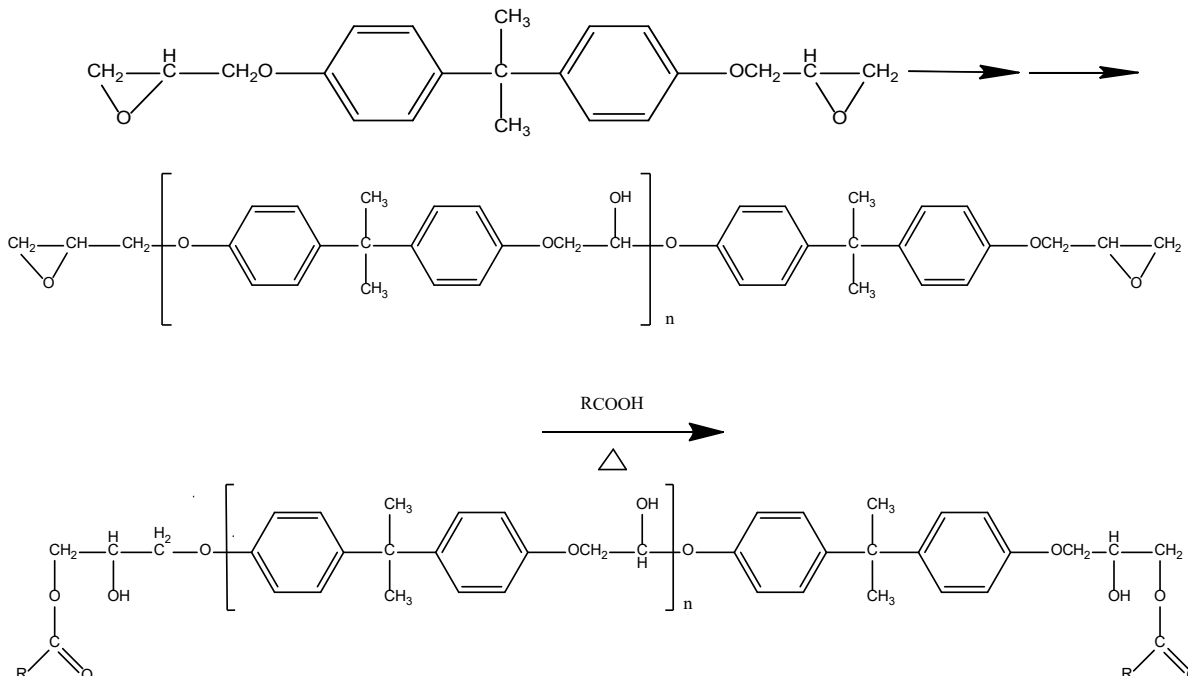
شکل ۹ واکنش بین اسید چرب بزرگ و مالیک اندیrid جهت تشکیل مالوفا واکنش می‌دهند (شکل ۱۲).

### ۶-۱۱ امولسیون گردان

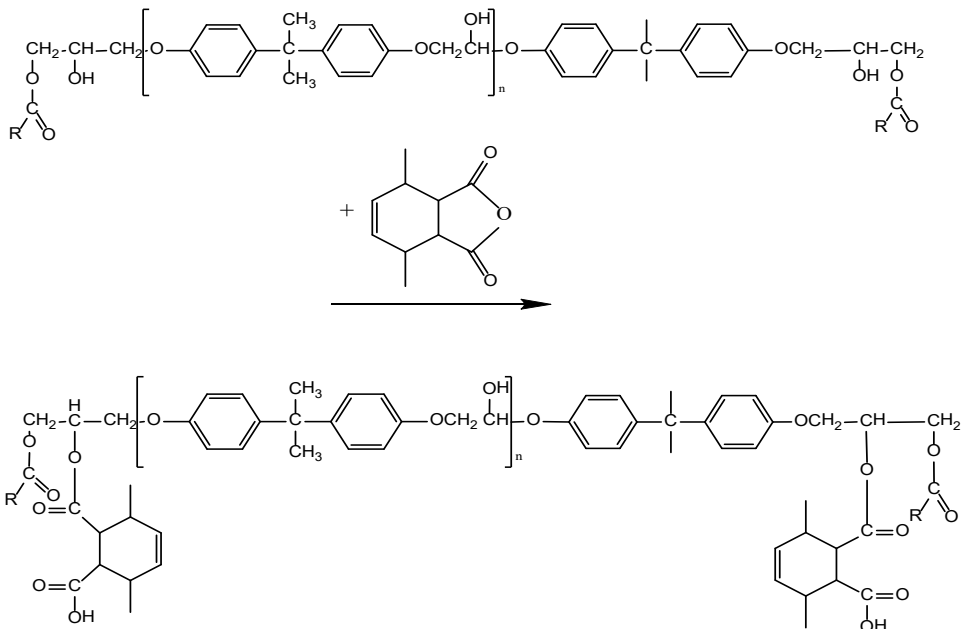
در این فرایند، پلیمر با باز قوی همچون هیدروکسید سدیم



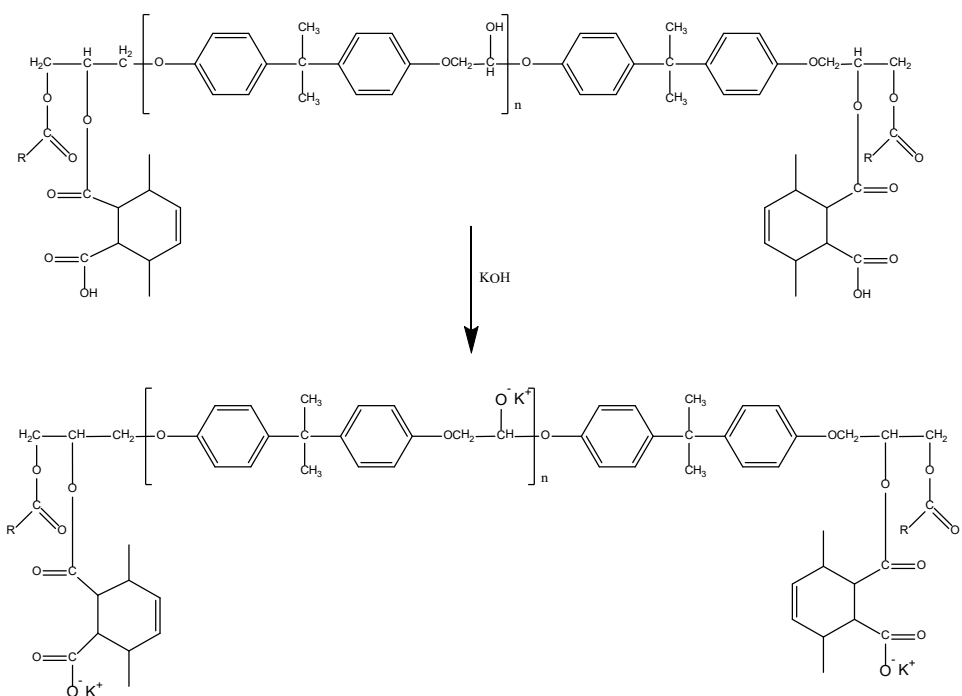
شکل ۱۰ ماده اولیه بیس فنول A جهت تهیه رزین



شکل ۱۱ واکنش پلیمری شدن تهیه استر بیس فنول



شکل ۱۲ واکنش تهیه پلیمر توسط استر پیس فنول به عنوان ماده اولیه



شکل ۱۳ واکنش امولسیون کردن برای تبدیل ساختار پلیمری به گروه‌های یونی

### ۱۳ پیامدهای زیست محیطی

رسوب دهی یا آبکاری الکتریکی همیشه به عنوان فناوری پوشش دهی «زیست سازگار» شناخته شده است. سامانه حلقه بسته، تضمین کننده حداکثر استفاده از رنگ و بخش عمده‌ای از ماده فرار در فرایند شامل آب است. با این حال برخی از مواد، نگران کننده هستند که مورد توجه قرار گرفته‌اند.

### ۱۴ اجزای آلی فرار

رنگ‌هایی که به روش پوشش دهی الکتریکی تهیه می‌شوند به میزان قابل ملاحظه‌ای حاوی مواد آلی فرار هستند [۲۹]. این مواد آلی فرار حاوی اجزای زیر است:

- حلال‌های در جریان
- عوامل یا معرف‌های مسدودکننده ناشی از یورتان به عنوان عامل شبکه کننده
- محصولات مختلف ناشی از فرایند شکست این مواد آلی فرار، نگران کننده هستند زیرا حاوی بسیاری از حلال‌های آلی سمی بوده، برای انسان مضر هستند و طبیعت فرار، مصرف آن‌ها را آسان می‌کند. علاوه بر این، بسیاری از مواد آلی فرار در تشکیل دود مشارکت می‌کنند.

در حالی که در کاتد، KOH دوباره تولید شده و (g) H<sub>2</sub> تشکیل می‌شود:



### ۱۵ عمل پخت

در این مرحله وسیله نقلیه در کوره پخت می‌شود که طی این زمان، پوشش پلیمری سخت شده، مجموعه‌ای از واکنش‌های شبکه‌ای شدن از طریق ایجاد پیوندهای غیراشباع (پیوندهای دوگانه) روی می‌دهد.

### ۱۶ کنترل کیفیت

برای اطمینان از کارایی مطلوب و عملکرد پوشش سطح، بخش‌های مختلف فرایند توسط آزمایشگاه، نظارت و کنترل می‌شود. این اطلاعات در جدول ۳ ارائه شده است. علاوه بر موارد فوق مجموعه‌ای از مولفه‌های عملیاتی هم مانند هدایت الکتریکی آب دوبار تنظییر شده، میزان هدایت بدنه خودرو قبل از رسوب دهی الکتریکی، دمای پخت شدن و ضخامت فیلم بر حسب میکرومتر بررسی و اندازه گیری می‌شوند.

جدول ۳ مولفه‌های اندازه گرفته شده طی مراحل مختلف پوشش سطح

	مخزن پوشش دهی الکتریکی	تصفیه بیشتر رنگ	آنولیت	شست و شو به شکل غوطه‌ور کردن
اسیدیته	✓	✓	✓	✓
( $\mu\text{S}/\text{cm}$ ) هدایت	✓	✓	✓	✓
(%) مقدار مواد جامد (%) w/w	✓	✓		✓
مقدار خاکستر (%) w/w)	✓			
مقدار حلal (%) w/w)	✓	✓		✓
MEQ (مقیاس اندازه گیری اسیدیته)	✓			
دمای مخزن ( $^{\circ}\text{C}$ )	✓			
بازده کلومیک / میلی گرم جامد بر کلومب	✓			

کاتالیستی است که باعث پخت در دمای کمتر می‌شود و به این معنی که دمای کوره را می‌توان از سطح معمول یعنی دمای ۱۷۵-۱۸۰ درجه سانتی گراد پایین تر آورد. این اقدامات میزان مصرف برق و میزان آسیب زیست محیطی ناشی از تولید برق را کاهش می‌دهد.

### ۳-۱۳ جنبه‌های مالی

هزینه رنگ کردن وسیله نقلیه، ۱۵ تا ۲۰ درصد هزینه کل ساخت آن است و از دید اقتصادی روش‌های کاهش هزینه‌ها به طور مداوم در دست بررسی قرار دارد.

### ۴ نتیجه‌گیری

اگرچه در گذشته برای رنگ‌آمیزی وسایل نقلیه از روش غوطه‌ورسانی و آبکاری به روش آندی استفاده می‌کردند اما امروزه اکثر وسایل نقلیه با استفاده از فرایند پوشش دهی الکتریکی به روش کاتالی پوشش دهی می‌شوند. در این فرایند از برق کمتری استفاده می‌شود و میزان آسیب زیست محیطی ناشی از تولید برق نیز بهینه شده است. این روش منجر به تولید پوشش مناسب شده، باعث پوشش با مقاومت بیشتری نسبت به خوردگی نمک در مقایسه با سایر روش‌ها می‌شود. علاوه بر این، استفاده از سامانه رزین، پوششی با خواص مکانیکی مطلوب و مقاومت دربرابر خوردگی ایجاد می‌کند.

انواع جدیدتر پوشش‌های الکتریکی از نوع کاتالی از سامانه رزین استفاده می‌کنند که استفاده از مقدار کم تر حلال‌های سیال را فراهم کرده است. همچنین اتصال دهنده‌های جدید، که از شبکه کننده‌هایی استفاده می‌کنند که حاوی میزان کمی عوامل مسدودکننده هستند. همچنین سامانه رزین به گونه‌ای طراحی شده است که حاوی حداقل مقداری از محصولات شکست ناشی از تخریب پلیمر در کوره پخت است. از طرف دیگر، رنگ‌های ICI روش پوشش دهی الکتریکی کاتالی را توسعه داده‌اند که معادل نیمی از مقدار معمول حلال سیال را در مقایسه با روش‌های دیگر تولید می‌کند و تحقیق درباره عوامل مسدودکننده و حلال‌های سیال ادامه دارد.

### ۲-۱۳ مصرف انرژی

روش پوشش دهی الکتریکی به میزان قابل توجهی برق را در هر دو مرحله‌ی الکترولیز و پخت مصرف می‌کند. از آنجاکه میزان برق مورد استفاده برای الکترولیز را نمی‌توان کاهش داد، می‌توان از پوشش‌هایی استفاده کرد که در دمای پایین تر پخت شده، مصرف انرژی را طی فرایند پخت کاهش دهد. روش‌های جدیدتری از پوشش دهی الکتریکی به روش کاتالی ابداع شده که که در دمای پایین تر انجام می‌پذیرد و حاوی عامل‌های شبکه کننده از نوع ایزو سیاناتی مسدودشده و سامانه‌های

## مراجع

1. Torok T., Urban P., and Lassu G., "Surface Cleaning and Corrosion Protection Using Plasma Technology" *Int. J. Corros. Scale Inhib.*, 4,116-124, **2015**.
- 2.Akafuah N. K., Poozesh S., Salaimeh A., Patrick G., Lawler K., and Saito K., "Evolution of the Automotive Body Coating Process-A Review" *Coatings*, 6, 1-22, **2016**.
- 3.Amirudin A. and Thierry D., "Corrosion Mechanisms of Phosphate Zinc Layers on Steel as Substrates for Automotive Coatings" *Prog. Org. Coat.*, 28, 59-76, **1996**.
4. Streitberger H.J. and Dossel K.F., "Automotive Paints and Coatings", Wiley, 517, 9, **2008**.
5. Debnath N. C., "Importance of Surface Preparation for Corrosion Protection of Automobiles" *J. Surf. Eng. Mater. Adv. Technol.*, 3, 94-105, **2013**.
6. Sapper E. and Woltering J., "Aqueous Powder Paint Dispersions" US6177487B1, **1995**.
7. Wang Y. M., Kuo H. H., Okeefe M. J., Maddela S., and Okeefe T.J., "Electrocoating Process for Mixed-Metal Automotive Bodies-In-White", **2009**.
8. Geffen C. A. and Rothenberg Sandra., "Suppliers and Environmental Innovation: The Automotive Paint Process" *Int. J. Oper. Prod. Man.*, 20, 166-186, **2000**.
9. Ansdell D.A., "Paint and Surface Coatings: Theory and Practice" Chapter 10, *Automotive Paints*, Cambridge England 696, **1987**.
10. Berger D. M., and Wint R. F., "New Concepts for Coating Protection of Steel Structures" ASTM Special Technical Publication, *American Society for Testing and Materials*, 134, **1984**.
11. Lister J., "A review of Cathodic Electrocoating and its Impact on the Corrosion Performance and Paint Quality of Vehicles" *ICI Paints*, **1992**.
12. Zhang X. G., "Galvanic Protection Distance of Zinc-Coated Steels under Various Environmental Conditions" *Corros. Sci.: J. Sci. Eng.*, 56, 139-143, **2000**.
13. Feng L., Benhamida B. N., Lu C.Y., Sung L. P., Morel P., Detwiler A. T., Skelly J. M., Baker L. T., and Bhattacharya D., "Fundamentals and Characterizations of Scratch Resistance on Automotive" *Prog. Org. Coat.*, 125, 339-347, **2018**.
14. Elwood K., Tardiff J. L., Gray L. J., Gaffney P., Braslaw J., Moldekleiv K., and Halvorsen A., "Development of a Full Vehicle Electrocoat Paint Simulation Tool" *Int. J. Mat. Manuf.*, 2, 234-240, **2009**.
15. Cook D. C., "An Active Coating and New Protection Technology for Weathering Steel Structures In Chloride Containing Environments" *NACE Int. Corros. Conf & Expo*, Paper No. 07360, **2007**.
16. Hayashi H., and Ishii M., "Development of 3-Wet Paint System with Improved Appearance-Paint Design Based on Transfer Mechanism of Unevenness from under Layers" *SAE Technical Paper; SAE International: Warren dale, PA, USA*, 04, 1048, **2014**.
17. Char cosset C., "Electrophoretic Painting, Encyclopedia of Membranes", France 1-2, **2014**.
18. Hilt M., "Automotive Painting Processes – Today and Tomorrow" Research Society for Pigments and Coatings, *Department Coatings and Pigments*, 08-22, **2011**.
19. Spagnoli G., Klitzsch N., Fernandez-Steger T., Feinendegen M., Real Rey A., Stanjek H., and Azzam R., "Application of Electro-Osmosis to Reduce the Adhesion of Clay during Mechanical Tunnel Driving" *Environ. Eng. Geosci.* 17, 417-426, **2011**.
- 20."Electrolysis- A Superior Cleaning Process" www. Antique-engine.ns.ca/electrolysis.html, **2016**.
21. Groven F.J., "Paint Baking Process" US1998615A, **1933**.
- 22.Gwak S., Jang I. J., Lee J., Noh W., Lee M. G., Song J. H., and Jeong C. Y., "Influence of Paint Baking Process on the Fracture Initiation of an AL-Mg-Si Alloy Sheet" *J. Phys.: Conf. Ser.* 1063, 012027, **2018**.
23. Bakhtiyari Noodeh M., Moradian S., and Ranjbar Z., "Improvement of the Edge Protection of an Automotive Electro-coating in Presence of a Prepared Epoxy-Amine Microgel" *Prog. Org. Coat.*, 103, 111-125, **2017**.
24. Alam A., Manuilskiy A., Thim J., O'Nils M., Lindgren J., and Liden J., "Online Surface Roughness Characterization of Paper and Paperboard using a Line of Light Triangulation Technique" *Nordic. Pulp. Pap. Res. J.*, 27, 662-670, **2012**.
25. Seltzer S., "The Mechanism of a Diels-Alder Reaction" *J. Am. Chem. Soc.*, 85, 1360-1361, **1963**.
26. Roberts J., Caserio M., "Basic Principles of Organic Chemistry" *New Polymer Technology for Auto Body*, Second Edition, American, **1964**.
27. Ikegami T., Mukawa T., Nariai H., and Takeuchi T., "Bisphenol A-Recognition Polymers Prepared by Covalent Molecular Imprinting" *Anal. Chim. Acta.*, 504, 131-135, **2004**.
- 28.Shunji K., Yoshiki W., Hiroaki G., and Toshinori M., "Emulsion Type Water Paint, *Process for its Production, and Process*

*for Applying Same*" US5087645, 1986.

29. Klein D. H., and Jorg K., "Two-Component Aqueous Ep-

oxy Binders Free of Volatile Organic Content (VOC)" *Prog. Org. Coat.*, 32, 119-125,1997.